



PERÚ

Ministerio
de la Producción



IMARPE
INSTITUTO DEL MAR DEL PERÚ

BOLETÍN SEMANAL OCEANOGRÁFICO Y BIOLÓGICO-PESQUERO

Año 3, N°02

Semana 02: 08 – 14/01/ 2018

PRESENTACIÓN

El **Boletín Semanal Oceanográfico y Biológico Pesquero** es un producto de la Dirección General de Investigaciones Oceanográficas y Cambio Climático (DGIOCC) y de la Dirección de Investigaciones en Recursos Pelágicos (DGIRP) del Instituto del Mar del Perú (IMARPE).

Este producto presenta la evolución de variables físicas en la superficie del océano y atmósfera, así como de la estructura físico-química del océano frente a Paita -lugar referente del mar peruano para la vigilancia climática asociada a El Niño-Oscilación del Sur- con el fin de comprender los efectos de la variabilidad de corto plazo en las condiciones oceanográficas y biológico-pesqueras del mar peruano. Esta información se sustenta en las redes observacionales que administra el IMARPE y que se han fortalecido en el marco del Programa Presupuesto Por Resultados - PPR 068 El Niño “Reducción de Vulnerabilidad y Atención de Emergencias por Desastres” y su producto “Entidades Informadas en forma permanente y con pronósticos

frente al Fenómeno El Niño”.

Índices oceanográficos y pesqueros locales así como regionales y de macroescala y relevante información satelital del producto Temperatura Superficial del Mar y Análisis de Hielo Marino Operacional (OSTIA, en inglés) del Servicio Meteorológico del Reino Unido, así como del Servicio de Monitoreo del Ambiente Marino Copernicus (CMEMS, según sus siglas en inglés), complementan las observaciones *in situ*.

El Boletín espera contribuir a mejorar el conocimiento del mar peruano, informar de forma oportuna y permanente a diferentes grupos de interés como gestores, tomadores de decisiones, planificadores, agricultores, emprendedores, pesqueros, científicos y sociedad en general, así como coadyuvar a la gestión del riesgo de desastres naturales del Estado Peruano.

Productos y Servicios Oceanográficos
LHFM/AFIOF/DGIOCC/IMARPE
Callao, 15 de enero, 2018

DIAGNOSTICO SEMANAL DEL MAR PERUANO

La Temperatura Superficial del Mar (TSM) presentó valores de 19°C frente a 16°S a 25°C en el extremo norte del Perú (Figura 1 a). La Salinidad Superficial del Mar indicó la persistencia de Aguas Ecuatoriales Superficiales en la zona norte del Perú, presencia de aguas propias del régimen costero (S=34,9-35,0 UPS) al sur de Paita y de 11°S a 17°S, así como zonas de mezcla y acercamiento de las Aguas Subtropicales Superficiales del oeste (35,1 UPS) hacia la costa central y sur (Figura 1 b). Esta semana continuó el enfriamiento en toda la banda ecuatorial presentando mayor intensidad entre 90°W y 125°W. A nivel local, persistieron condiciones cercanas a lo normal al norte de Paita y al sur del Callao, prevaleciendo enfriamiento frente a la costa central (Figura 2). El incremento de la temperatura, con respecto a la semana anterior, continuó especialmente en la zona adyacente a la costa sur como al norte de Paita así como mar adentro (Figura 3 d).

La variabilidad temporal del viento en la franja de ~100 km adyacente a la costa entre el ecuador y 21°S presentó velocidades menores a 5 m/s en toda la costa peruana, con valores mínimos (3 m/s) entre 5°S y 7°S. Este escenario indicó condiciones normales (+0,5 m/s) como debilitamiento moderado (de hasta -2,5 m/s) de esta variable. Con respecto a la dirección del viento, al norte de Paita (5°S) prevalecieron vientos de dirección Sur-oeste, entre 5°S y 15°S predominaron vientos de dirección Sureste (SE), mientras que vientos de dirección Este Sudeste y del SE caracterizaron la región al sur de 15°S (Figura 4). La variabilidad temporal de las anomalías del nivel medio del mar como de las anomalías térmicas fue similar a la semana anterior, aunque con mayor enfriamiento al norte de Paita (Figura 4 b, c).

La estación fija Paita, localizada a 11 km de esta localidad, registró el mayor enfriamiento del mar (-3°C) desde enero de 2016, destacando el ascenso de la isoterma de 15°C a 3 m de la superficie del mar, presencia de masas de agua propias del régimen de afloramiento costero y concentraciones de oxígeno de 3 mL/L.

Los índices climáticos LABCOS, ITCP como ICEN se mantienen en su fase negativa asociado con la presencia del evento La Niña.

I. CONDICIONES FÍSICAS DE MACROESCALA Y REGIONAL

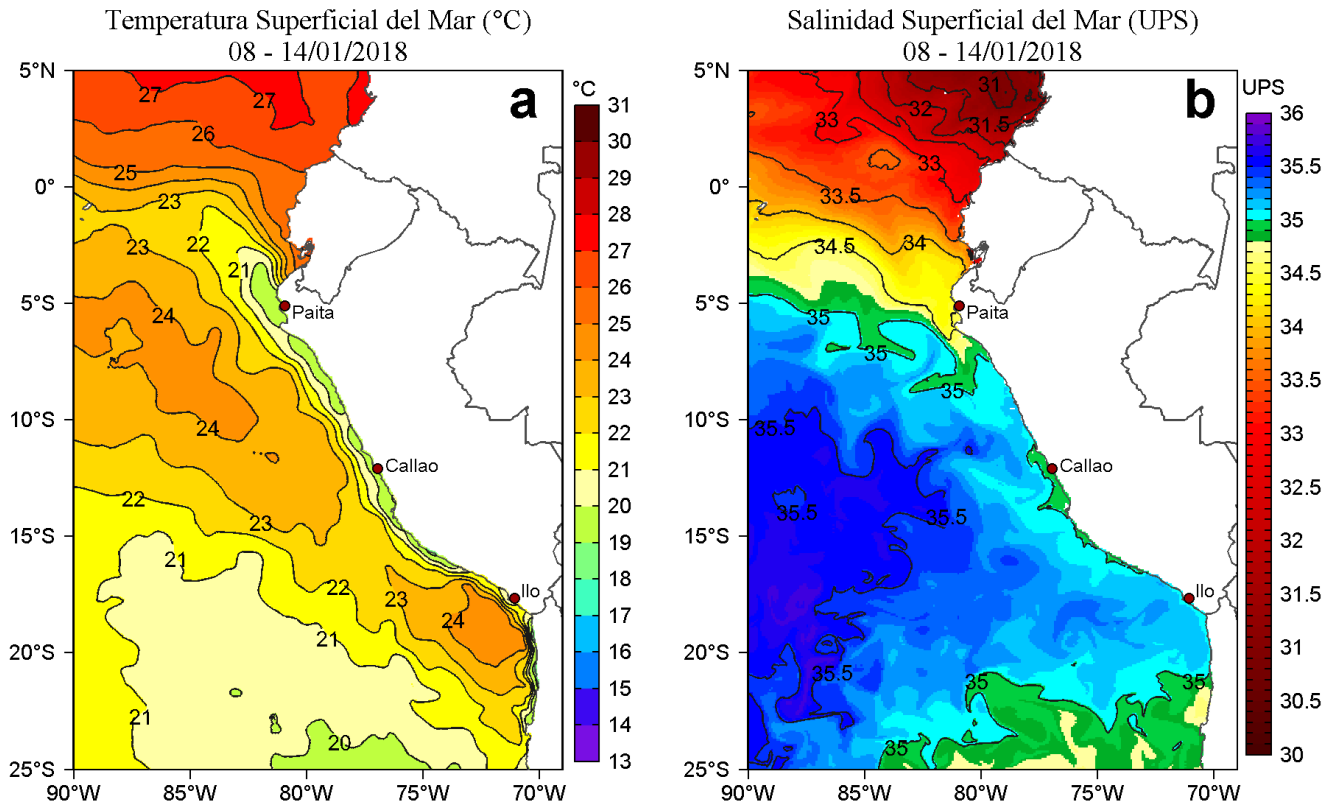


Figura 1. Distribución espacial promedio de: a) Temperatura Superficial del Mar (TSM, °C) y b) Salinidad Superficial del Mar (SSM, UPS) para la semana del 08 al 14 de enero de 2018 en el océano Pacífico tropical oriental. Datos: OSTIA-UKMO-L4-GLOB-v2.0 (UK Met Office, 2012; Donlon et al, 2012) disponible en <https://podaac.jpl.nasa.gov/dataset/OSTIA-UKMO-L4-GLOB-v2.0> para (a) y del Hybrid Coordinate Ocean Model (HYCOM; Halliwell et al., 1998; 2000; Bleck, 2001) para (b). Las escalas de colores de la TSM como de la SSM se presentan a la derecha de cada gráfico. Procesamiento: LHF/AFIOF/DGIOCC/IMARPE.

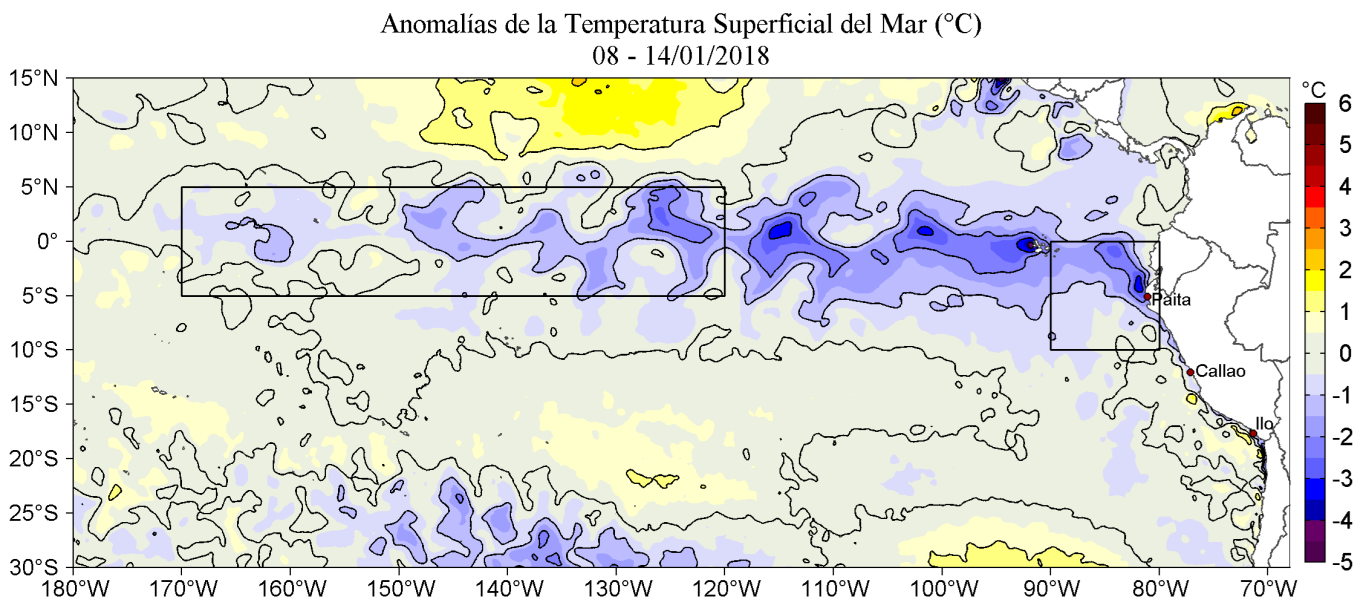


Figura 2. Anomalías promedio de la Temperatura Superficial del Mar (°C) en el océano Pacífico tropical para la semana del 08 al 14 de enero de 2018. Las regiones Niño 3.4 y Niño 1+2 en los sectores central y oriental del océano, respectivamente están delimitadas con una línea de color gris. Datos: OSTIA-UKMO-L4-GLOB-v2.0 (UK Met Office, 2012; Donlon et al, 2012) disponible en <https://podaac.jpl.nasa.gov/dataset/OSTIA-UKMO-L4-GLOB-v2.0>. Las anomalías se calcularon con respecto de la climatología para el período 2007-2016. Procesamiento: LHF/AFIOF/DGIOCC/IMARPE.

II. CONDICIONES LOCALES

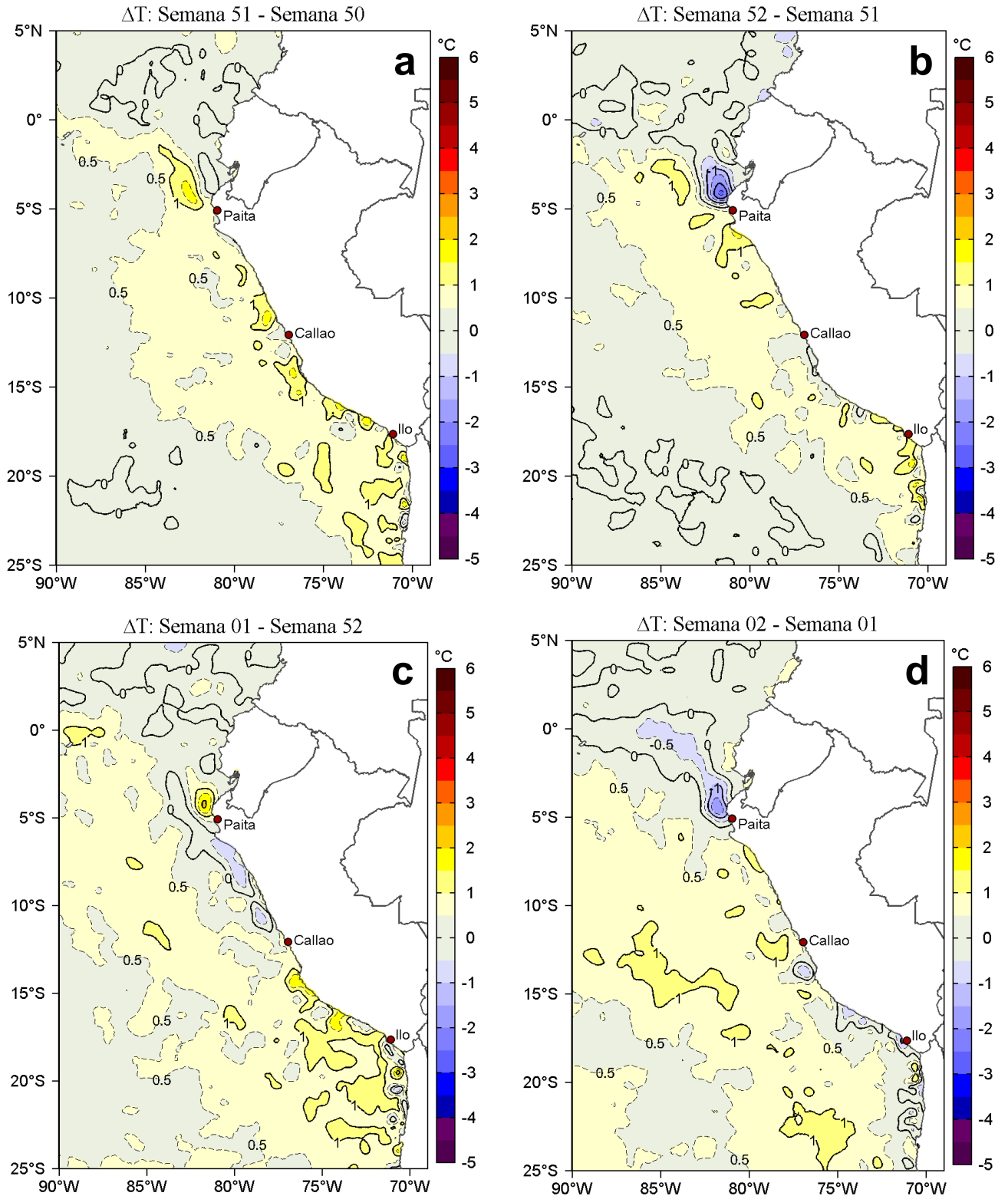


Figura 3. Variación semanal de la Temperatura Superficial del Mar ($^{\circ}\text{C}$) en el océano Pacífico tropical oriental entre: a) quincuagésima primera (17-23 de diciembre) y quincuagésima (10-16 de diciembre) semana del 2017, b) quincuagésimo segunda (24-30 de diciembre) y quincuagésima primera (17-23 de diciembre) semana del 2017, c) la primera (01-07 de enero) semana del 2018 y quincuagésima segunda (24-30 de diciembre) semana del 2017, y d) segunda (08-14 de enero) y primera (01-07 de enero) semana del 2018.

Los mapas, que indican el grado de calentamiento o enfriamiento de una semana a otra, provienen de OSTIA-UKMO-L4-GLOB-v2.0 (UK Met Office, 2012; Donlon et al, 2012). La barra de colores a la derecha muestra la diferencia de la temperatura entre la presente y la semana previa. Procesamiento: LHF/M/AFIOF/DGIOCC/IMARPE.

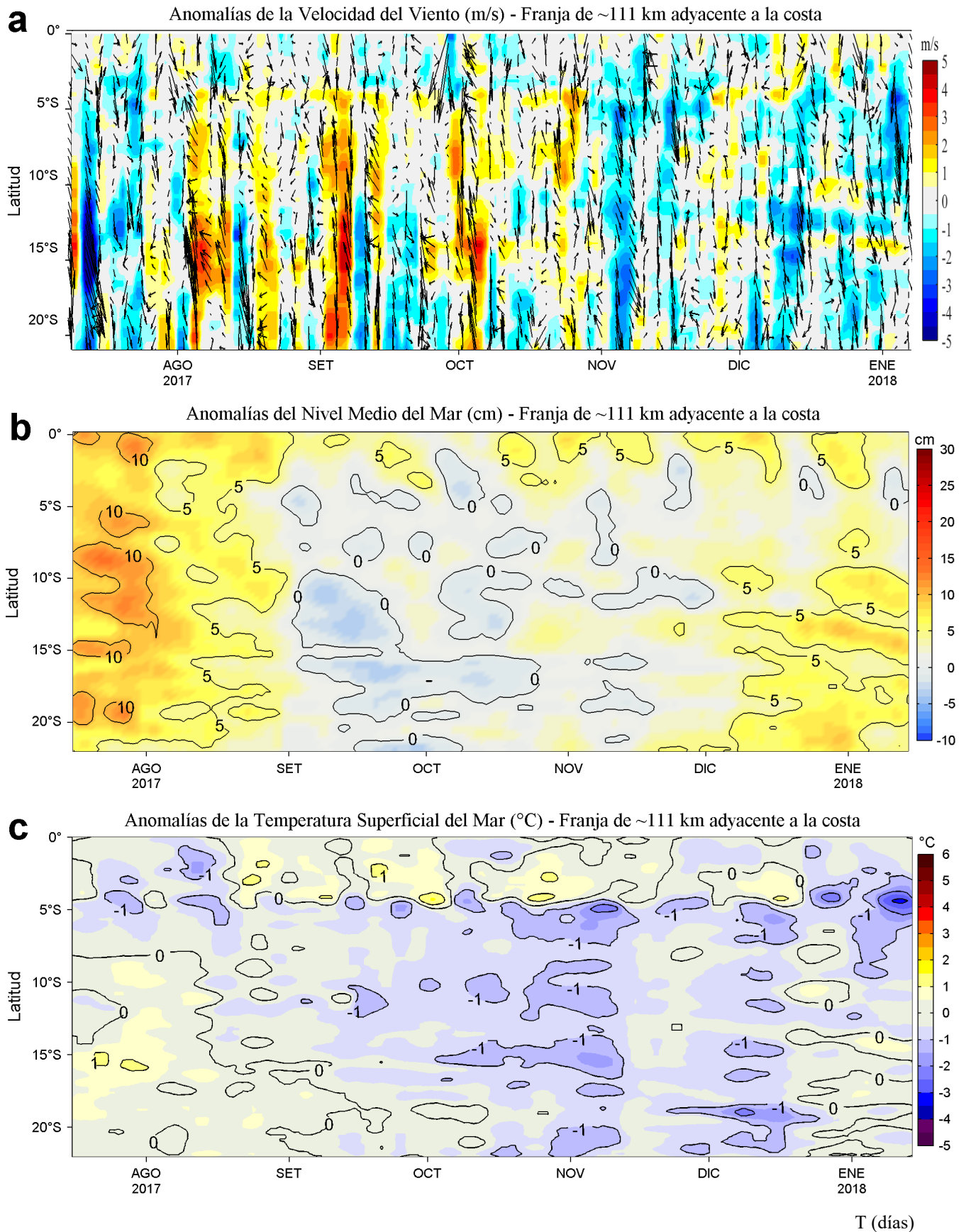


Figura 4. Evolución de las anomalías diarias de: a) Velocidad del viento (m/s), b) Nivel medio del mar (cm), c) Temperatura Superficial del Mar (°C) para el último semestre actualizado al 14 de enero de 2018. Datos: de IFREMER/CERSAT para (a), del Servicio de Monitoreo del Ambiente Marino Copernicus (CMEMS, según sus siglas en inglés) para (b), de OSTIA-UKMO-L4-GLOB-v2.0 para (c). Las anomalías fueron calculadas para una franja de 111 km adyacente a la costa entre el ecuador y 22°S según los promedios climatológicos diarios de 2000-2014 para (a), de 1993-2013 para (b) y de 2007-2016 para (c). La barra de colores a la derecha muestra la escala de las anomalías en cada caso. Procesamiento: LHF/AFIO/DGIOCC/IMARPE. **Vientos 7-13**

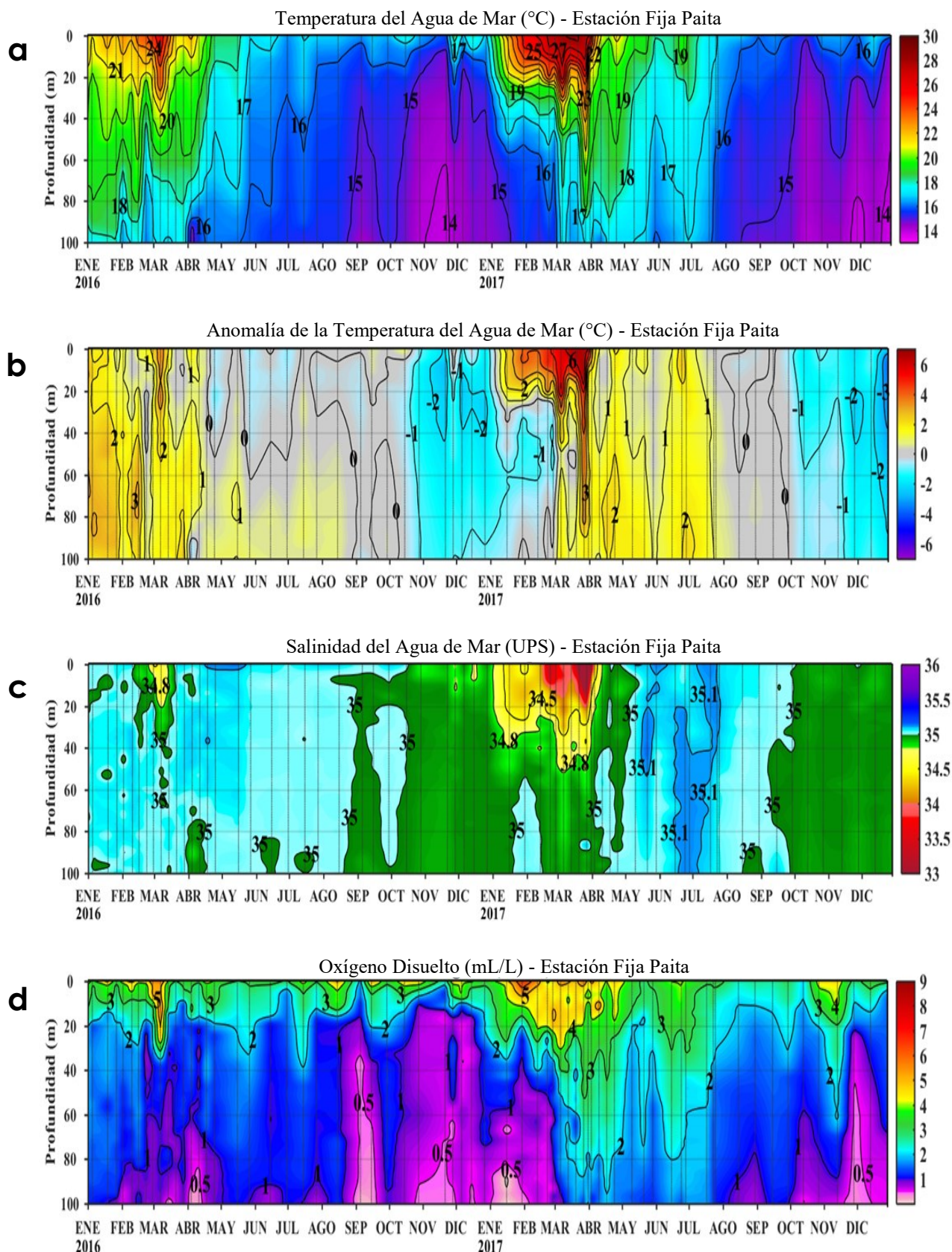


Figura 5. Evolución de: a) Temperatura del agua de mar (°C), b) Anomalías térmicas (°C), c) Salinidad del agua de mar, d) Contenido de Oxígeno disuelto (mL/L) para la estación fija Paita, localizada a 7 mn de esta localidad desde enero de 2016 al 28 de diciembre de 2017. Las anomalías de la temperatura del agua (°C), salinidad y de oxígeno disuelto (mL/L) se calcularon en base al promedio climatológico de 1981-2010 de acuerdo a Anculle, *et al* (2015). Los puntos en la columna de agua indican los días en que se realizó la estación fija Paita. Datos: Monterrey Bay Aquarium Research Institute (MBARI) para el periodo de 1982 a mayo de 2013, así como de IMARPE para el periodo de 2013 al 15 de junio de 2016. Procesamiento: LHFM/AFIOF/DGIOCC/IMARPE.

III. ÍNDICES CLIMÁTICOS Y BIOLÓGICO-PESQUEROS

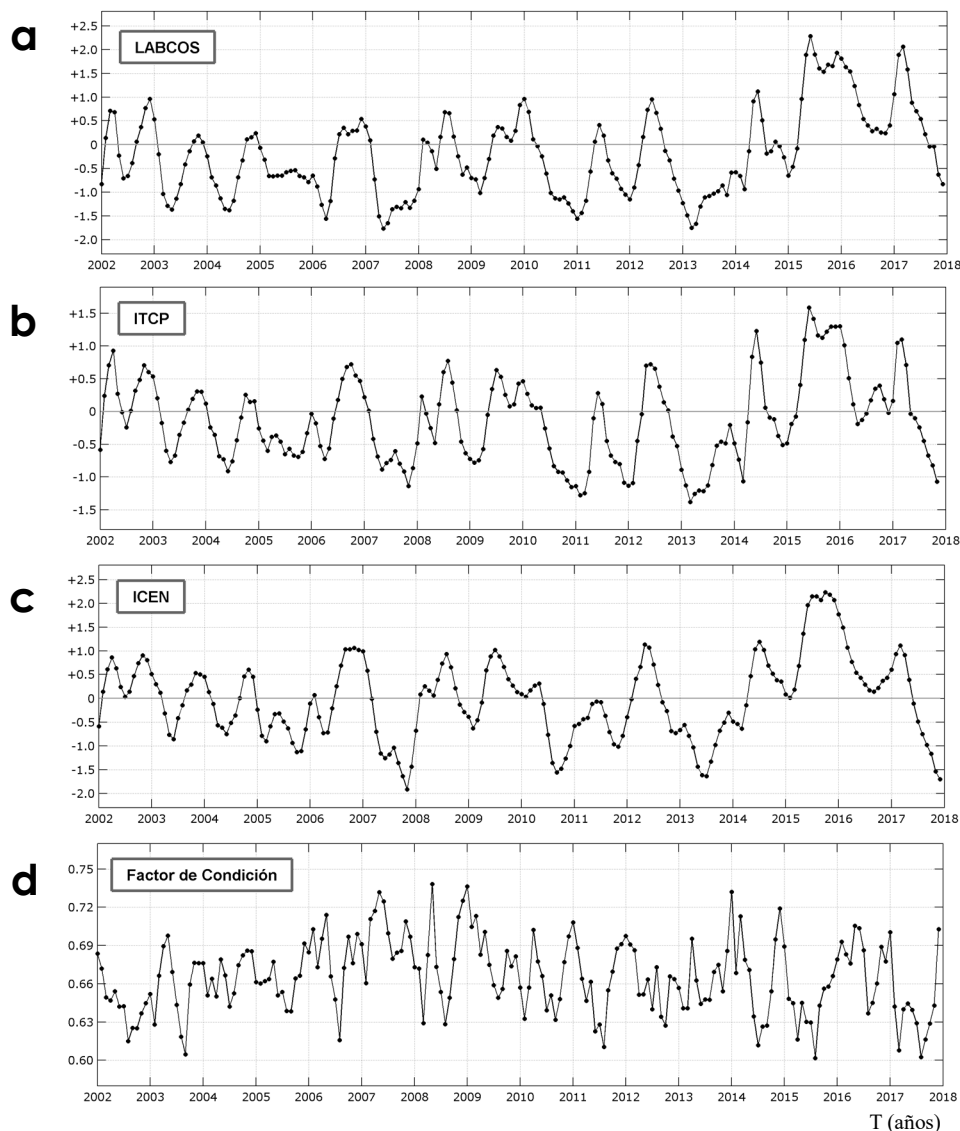


Figura 6. a) Series de tiempo de Índices climáticos y biológico-pesqueros: a) Índice LABCOS, b) Índice Térmico Costero Peruano (ITCP), c) Índice Costero El Niño (ICEN) y d) Factor de Condición (%) de la anchoveta en la región norte-centro desde enero de 2002. La metodología para estimar estos índices se encuentran en Quispe y Vásquez (2015), Quispe et al (2016), Takahashi, et al. (2014) y Perea et al (2015), respectivamente. Procesamiento: LHF/M/AFIOF/DGIOCC/IMARPE.

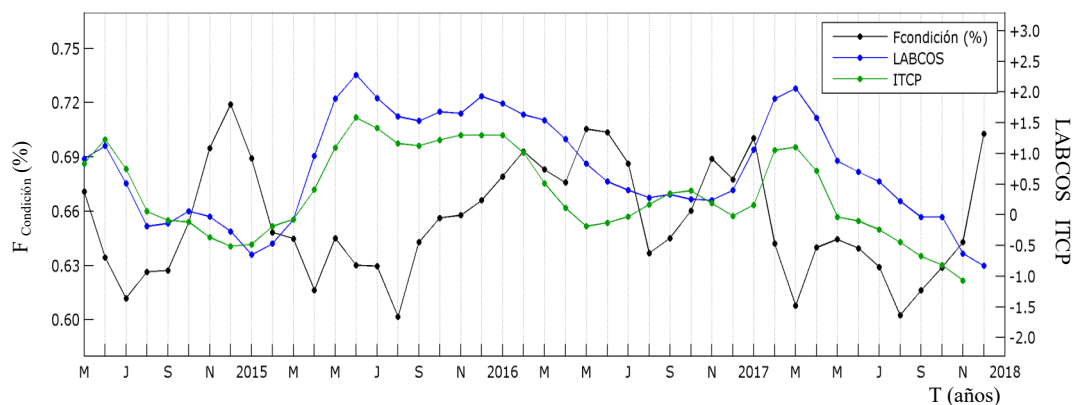


Figura 7. Series de tiempo mensual del Índice LABCOS (línea punteada de color azul), del Índice Térmico Costero Peruano (ITCP, línea de color verde) y el Factor de Condición (%), en color negro) desde mayo de 2014. La metodología para estimar estos índices se encuentran en Quispe y Vásquez (2015), Quispe et al (2016), Takahashi, et al. (2014) y Perea et al (2015), respectivamente. Procesamiento: LHF/M/AFIOF/DGIOCC/IMARPE.

REFERENCIAS

- Anculle, T., D. Gutiérrez, A. Chaigneau, F. Chávez, 2015. Anomalías del perfil vertical de temperatura del punto fijo Paita como indicador de la propagación de ondas Kelvin. En: Boletín Trimestral Oceanográfico, Volumen 1, Números 1-4, pp.: 8-10.
- Ángel Perea, Betsy Buitrón, Julio Mori, Javier Sánchez, Cecilia Roque, 2015. Anomalías de los Índices reproductivos de anchoveta *Engraulis ringens* en relación al ambiente. En: Boletín Trimestral Oceanográfico, Volumen 1, Números 1-4, pp.: 27-28.
- Bleck, R., 2002: An oceanic general circulation model framed in hybrid isopycnic-Cartesian coordinates. Ocean Modeling, 4, 55-88.
- Takahashi, K, K. Mosquera y J.Reupo. El Índice Costero El Niño (ICEN): historia y actualización. Boletín Técnico - Vol. 1 Nro. 2, Febrero del 2014.
- Halliwel, G. R., Jr., R. Bleck, and E. Chassignet, 1998: Atlantic Ocean simulations performed using a new hybrid-coordinate ocean model. EOS, Fall 1998 AGU Meeting.
- Halliwel, G. R., R. Bleck, E. P. Chassignet, and L.T. Smith, 2000: mixed layer model validation in Atlantic Ocean simulations using the Hybrid Coordinate Ocean Model (HYCOM). EOS, 80, OS304.
- Quispe, J. y L. Vásquez, 2015. Índice "LABCOS" para la caracterización de evento El Niño y La Niña frente a la costa del Perú, 1976-2015. En: Boletín Trimestral Oceanográfico, Volumen 1, Números 1-4, pp.: 14-18.
- Quispe Ccallauri, C, J. Tam, H. Demarq, C. Romero, D. Espinoza, A. Chamorro, J. Ramos, R. Oliveros, 2016. El Índice Térmico Costero Peruano. En: Boletín Trimestral Oceanográfico, Volumen 2, Número 1, pp: 7-11.
- Reynolds, R. W., T. M. Smith, C. Liu, D. B. Chelton, K. S. Casey, and M. G. Schlax, 2007: Daily high-resolution-blended analyses for sea surface temperature. Journal of Climate, 20, 5473–5496, doi:10.1175/JCLI-D-14-00293.1.

RECONOCIMIENTOS

Los datos de temperatura superficial del mar de alta resolución fueron provistos por la NOAA/OAR/ESRL/PSD, Boulder, Colorado, Estados Unidos, de su sitio web <http://www.esrl.noaa.gov/psd/>. Los datos de vientos se colectaron de IFREMER/CERSAT. 2005. NSCAT Level 3 Gridded Mean Wind Fields (IFREMER). Ver. 1. PO.DAAC, CA USA. Data set accessed [YYY-MM-DD]. <ftp://ftp.ifremer.fr/ifremer/cersat/products/gridded/MWF/L3/ASCAT/Daily/>. Los productos de altimetría Ssalto/Duacs fueron producidos y distribuidos por Copernicus Marine and Environment Monitoring Service (<http://www.marine.copernicus.eu>).



El contenido del Boletín se puede reproducir citándolo así: Boletín Semanal Oceanográfico y Biológico-Pesquero [en línea]. Callao, Instituto del Mar del Perú. Año 3, N°02, 15 de enero de 2018. [http://www.imarpe.pe/imarpe/index.php?id_seccion=101780204000000000000000](http://www.imarpe.pe/imarpe/index.php?id_seccion=1017802040000000000000).

© 2018 Instituto del Mar del Perú.
Esquina Gamarra y General Valle, Chucuito, Callao - Perú.

Hecho el Depósito Legal en la Biblioteca Nacional del Perú N°2016-02931.

Consultas: Servicios y Productos Oceanográficos/AFIOF/DGIOCC/IMARPE.
Correo electrónico: lhf_m_productos@imarpe.gob.pe.
Teléfono: (51 1) 208 8650 (Extensión 828).

Suscripciones: Complete [este formulario](#).